

Berichte des Technischen Prüfstandes Oppau

4-154
B

Bericht Nr. 463

Untersuchungen an Rippenrohren

1. Teil:

Vergleichende Messung des Wärmeüberganges
an Hochdruckrohren mit geschweißten und
mit aufgestemmten Rippen

8309



I. G. FARBENINDUSTRIE AKTIENGESELLSCHAFT
LUDWIGSHAFEN AM RHEIN

Bericht des Technischen Prüfstandes Oppau

Nr. 463

Untersuchungen an Rippenröhren

1. Teil: Vergleichende Messungen des Wärmeüberganges an Hochdruckröhren mit geschweissten und mit aufgestemmten Rippen.

Übersicht: Es wurde eine Versuchsanlage gebaut, in der benötigte Hochdruckrohre, kurze Probestücke aus den "Herradeln" der Spitzenvorheizer in Hydrieranlagen, hinsichtlich ihres dichten Wärmeüberganges untersucht werden können. Die Versuchsbedingungen sind dabei ähnlich wie im Betriebszustand in den Gasen der Petrolie abliegen.

Aus dem umfangreichen Versuchsprogramm sind im vorliegenden ersten Bericht Vergleichsmessungen an Röhren mit aufgeschweissten und mit aufgestemmten Rippenblechen betrachtet. Die Versuchsergebnisse zeigen den schädlichen Einfluss der Luftsaiten am Stennring, durch die Wärmeübergangszahl der gesetzten Röhre unter normalen Betriebsbedingungen nur 75, derjenigen der geschweißten Röhre erreichen. Die Werte der gestempelten Röhre werden umso schlechter, je höher die Rippentemperatur gegenüber der Rohrtemperatur ist, je breiter also infolge der ungleichen Ausdehnung der Spalt wird. Bei ihnen geheizten und kühlen gekühlten Röhren wird der Spalt verengt, sodass die gestempelten Röhre in diesem Fall annähernd gleichgroße Werte wie die geschweißten Röhre erreichen. Schliesslich wurde noch das Temperaturfeld auf den Rippen gemessen, das eine Bestätigung der Messungen zeigt, zugleich aber auch wichtige Rückschlüsse auf die Wirkung des Verdrängers gestattet.

Abgeschlossen am: 14. Juli 1941

Die vorliegende Ausfertigung enthält

16 Textblätter

8 Bildblätter

3 Tabellen

Bearbeiter: Dr.-Ing. G. Kling

LS Kling

Verteiler

Nr.	am	Empfänger	Nr.	am	Empfänger
1		Herrn Dir. Dr. Seuer, Leuna,	10		Herrn Dr. J. Schappert, Lu.
2		Herrn Dir. Josenhans, Leuna,	11		Herrn Dr.-Ing. Kautz, Lu.
3		Herrn Dir. Dr. Eymann, Lu.	12		Herrn Dr.-Ing. illes, Op.
4	22.7.41	Herrn Dir. Dr. Lippe, Op.	13		Herrn Dr.-Ing. Klin., Op., Techn. Prüfstand
5	22.7.41	Herrn Ob. Ing. Dr. Schierenbeck Op.	14		
	23.7.41		15		
6		Herrn Ob. Ing. Raithel, Lu.	16		
7		Herrn Ob. Ing. Dr. Schmidt, Lu.			
8		Herrn Ob. Ing. Berger, Lu.			
9		Herrn Dr. I. Jöhner, Lu.			

8310

Untersuchungen an Rippenrohren

1. Teil: Vergleichende Messung des Wärmeüberganges an Hochdruckrohren mit aufgeschweißten und mit aufgesteckten Rippen.

A. Zweck der Versuche.

In den Spitzenvorheizern der Hydrieranlagen sind die Haarmodelle rohre aussen mit aufgeschweißten Rippen versehen, um den schlechten Wärmeübergang der Gasseite durch eine vergrößerte Oberfläche auszugleichen. Über die zweckmäßigste Form und die günstigste Abmessung der Rippen, über die Temperaturverteilung auf der Rippe und am Rippenfuss schien bisher eingehende Untersuchungen. Die komplizierte Gestaltung solch eines Rippenrohres und die unklaren Verhältnisse des Strömungsfeldes um das Rohr und zwischen den Rippen erschweren außerordentlich die Anwendung von Ähnlichkeitgesetzen und die Möglichkeit von Modellversuchen. Daher ist es erforderlich, auch im Versuch den Einbau der Rohre in der Gasse, den eventuellen Einbau von Verstärkern, die Druck- und Temperaturverhältnisse sowie Strömung der Rauchgase usw. zu berücksichtigen. Nach einigen kürzeren Versuchen wurde daher beschlossen, eine Grossversuchsanlage zu bauen, in der die Verhältnisse des Betriebes weitgehend nachgewandt werden können.

Die Bearbeitung des zur Zeit vorliegenden umfangreichen Versuchprogrammes wird in einer Reihe von Berichten herausgegeben. Der vorliegende erste Bericht enthält die Beschreibung der Versuchsanlage und die Ergebnisse einer vorläufigen Messung an Rohren mit aufgeschweißten und mit aufgesteckten Rippenblechen.

B. Aufbau der Anlage zur Untersuchung von Rippenblechen.

Die Anlage zur Untersuchung von Hochdruckrippenrohren ist in Blatt 1 dargestellt.

In einem Muffelofen (a) wird Öl verbrannt zur Erzeugung der heißen Rauchgase. Die Verbrennungsluft, deren Menge in einer Blende (V)

gemessen wird, konnte in einem elektrischen Erhitzer (s) vorgewärmt werden. Der Verbrennungsraum ist nach hinten verlängert zu dem Saugraum (b) einer grossen Düse, wo in dem Rückzugskreislauf eingeschalten ist. Beim Anfahren der Anlage werden Saugraum und Verbrennungsraum durch einen Schieber (c) getrennt, sodass die Verbrennungsgase durch den Kamin (d) ins Freie strömen. Sobald der Ofen warm ist, wird der Schieber (c) hochgezogen und die Kaminklappe (e) geschlossen. Der vom Motor (f) angetriebene Ventilator (g) wird in Betrieb gesetzt und wälzt die in der Anlage befindlichen Gasmassen in der Pfeilrichtung um. Der in der Düse (b) entstehende Unterdruck saugt die heißen Verbrennungsgase an, sodass sich die anfangs kalten Umlaufgase erwärmen. Nach der Düse durchströmen die Rauchgase die eigentliche Versuchsgasse von 710 mm Breite und 500 mm Höhe die aus einzelnen Blechkästen der Beruhigungsstrecke (h) von 2 m Länge, der Einbaustrecke (k) von 1 m Länge und den Zwischenstückchen (i) und (l) von je 1 m Länge besteht. Der Ventilator (g) kann durch Widerstände - regulierung des Gleichstrommotors (f) in dem Drehzahlbereich von etwa 300 bis 3000 Umdr./min. reguliert werden. Die umgewälzte Gasmenge (max 10000 m³ bei 400°C) wird in einer großen Rohrstrecke (m) von 500 mm Ø und 8 m Länge mittels der Blende (n) gemessen. Der Gaskreislauf wird dann mit einem Krümmer zur Ofendüse geschlossen. Eine Abgasleitung (o) führt die überschüssigen Rauchgase in den Kamin. Das ganze Rohrsystem ist auf rollbaren Böcken gelagert, während Ofen und Ventilator fest montiert sind. Bei beträchtlicher Wärmeausdehnung wird in zwei kurzen Dehnmutterstücken (j), vor der Düse und nach dem Zwischenstück (l), kompensiert. Die ganze Anlage ist aussen mit Diatomitsteinen bzw. mit Asbestmatte sorgfältig isoliert. Die höchste Betriebs temperatur ist durch den Ventilator begrenzt, der bis zu 400°C erwärmt werden darf. Die Rauchgastemperatur vor den Rippenrohren kann daher höchstens 450°C betragen. Die Anheizzeit vom kalten Zustand der Anlage bis zur Höchsttemperatur sind etwa 2 Std. bei der grössten Heizölmenge, d.s. etwa 12 l/h.

Zur Überwachung der Anlage wie auch insbesondere zur Messung des Wärmeüberganges sind verschiedene Messgeräte eingebaut. Am Ofen wird die Brennstoffmenge am Standglas des Ölbehälters abgelesen. Die Verbren-

nun Luft ist durch eine Blendenmessung zu ermitteln, ebenso ihre Temperatur vor dem Brenner mit einem Thermometer. Die Temperatur im Ofen wird in einem Chromnickel B - Thermoelement - Thermoolezent überwacht. - Im Rauchkreislauf sind Thermometer vor dem Ofen, vor und nach den Rippenrohren, nach der Blende und ein Fe-Konst.-Thermoelement nach der Ofendüse eingebaut. Die Genauigkeit der Thermometeranzeige vor den Rippenrohren war nochmals durch ein genau geeichtes Fe-Konst.-Thermoelement kontrolliert worden. - Druckmessungen mittels wassergefüllter U-Rohrmessometer wurden Kamin, vor und nach den Rippenrohren, vor dem Ventilator, vor der Blende und vor dem Ofen vorgenommen. Die Druckdifferenz an der Blende wurde mit einem Fuchs-Schrägrohrmanometer genau bestimmt. Die Messblende hatte einen Innendurchmesser von 400 mm und war nach den Massbestimmungen der VDI-Regeln DIN 1952 hergestellt worden. Der Durchflussbeiwert λ der Blende wurde aus Abb. IV der genannten VDI-Regeln unter Berücksichtigung der Reynolds'schen Zahl der Blende entnommen. ... die Blendenmessung erfordert die Bestimmung der Rauchgaszusammensetzung. Dafür wurde nach dem Ventilator ein Entnahmetutzen (u) angebracht, an dem ein wassergekühltes Messingrohr angeschlossen war. In diesem, sowie in einem nachgeschalteten Schlangenkühler, kondensierte der Wasserdampf und schied sich in einem Messzylinder ab. Der so getrocknete Gasstrom wurde in einer Gasuhr gemessen, womit die CO_2 pro 100% trockenes Rauchgas bestimmt werden konnten. Vor der Gasuhr wurden die Proben zur Gasanalyse auf CO_2 , O_2 und CO entnommen. Die Wasserdampfsättigung wurde für die Temperatur des Urastapparates eingesetzt der Fehler gegenüber der Temperatur des Kahlwassers ist belanglos.

In der Versuchsanlage können die verschiedensten Rippenrohrprofile unter Betriebsbedingungen hinsichtlich ihres äußeren Wärmeüberganges untersucht werden. Abweichend ist nur die Gestaltung des inneren Wärmeüberganges im Rohr. Als wärmeaufnehmendes Medium wurde Luft gewählt. Zur Verbesserung des inneren Wärmeüberganges werden die Versuchsröhre innen auf 480 mm Länge mit Stahlkügeln von 11,8 mm Ø gefüllt. Dadurch wird eine genügende Erwärmung erzielt, die die exakte Messung der die Rippenoberfläche von aussen nach innen durchfließenden Wärmemenge ermöglicht.

Die Luftmenge wird mittels Blenden (r) von 32/52 mm ϕ mit ausreichend langen geraden Rohrstrecken genau ermittelt. Der Durchflussbeiwert λ der Y Blende war nach einer Eichung in der Betriebskontrolle genau bekannt. Der Differenzdruck wird mit Doppelsilbermanometern bestimmt. Die Eintrittstemperatur t_1 der Luft wird an untenen Krümme gemessen, die Austrittstemperatur t_2 nach Durchwirbelung in einem T-Stück kurz über dem Versuchrohr. Die Messung des Wasserdampfturmes vom Reichtags an die Rohrinnenwand erfordert die Kenntnis der mittleren Temperatur der Rohrinnenwand. Diese wird mittels Fe-Konst.-Thermoelementen gemessen, die auf Cu-Plättchen von 10x10x1 mm aufgelötet sind. Das Cu-Plättchen wird dann durch einen diagonal im Rohr eingeklemmten Stahldraht an die Wand angesetzt. Die Thermoelementdrähte werden an der inneren Rohrwand entlang nach oben hin vergeführt.

Der Einbau von Versuchsrinnenrohren kann in dem Kasten (k) in jeder beliebigen Anordnung vorgenommen werden. Durch seitliche Bleche ist auch eine Verengung der Gasse, z.B. für die Untersuchung eines einzelnen Rohres, möglich. Weiterhin ist auch der Einbau von Verdängerern oder von vorgesetzten Rippenrohren im Kasten (l) möglich.

C. Messungen an Rippenrohren mit aufgeschweißten und mit aufgesteckten Rippenteilechen.

1.) Allgemeines.

Bei der Herstellung der Rinnenrohre ist das Anpassen, Auftragen und Verschweißen der zahlreichen Rippenbleche, so wie es jetzt geschieht ein langwieriger und kostspieliger Arbeitsprozess. Auch bestanden Bedenken gegen die Schweißung der hochwertigen legierten Hochdruckrohre hinsichtlich ihrer Festigkeitseigenschaften. Die Bestrebungen waren deshalb darauf gerichtet, billigere und einfachere Verfahren der Rippenaufbringung unter Vermeidung des Schweißens zu finden. Im Rahmen der verschiedensten Beziehungen in dieser Richtung wurde der folgende Vorschlag gemacht (siehe auch nebenfigur in Blatt 2):

Die Rippenbleche werden mit einem größeren Loch versehen als dem Rohrdurchmesser entspricht. Auf das Rohr wird ein geschlitzter Ring

geschoben, der sich federnd dem praktisch unglichen Rohrdurchmesser anpassen kann. Auf den Ring ist aussen ein Absatz eingeschoben, in den das Rippenblech eingelegt wird. Durch seitliches Verstecken des Rings wird dieser gegen Rohr und Rippenblech auseinandergetrieben und soll damit den Blechen einen festen Halt auf den Rohren geben. Herstellungsmissig bedeutet dieses Verfahren eine beträchtliche Arbeitszeitverkürzung und damit Verbilligung der Maßnahmen. Wärmetechnisch jedoch bestehen Bedenken wegen der nicht metallischen Verbindung des Rippenfußes, die eine Verminderung des Wärmeflusses bewirken könnte. In den vorliegenden Versuchen sollen daher vergleichswise Hochdruckrohre mit aufgeschweißten und mit aufgestanzten Rippen untersucht werden.

2.) Beschreibung der Versuchsröhre und ihr Einbau in der Gassee.

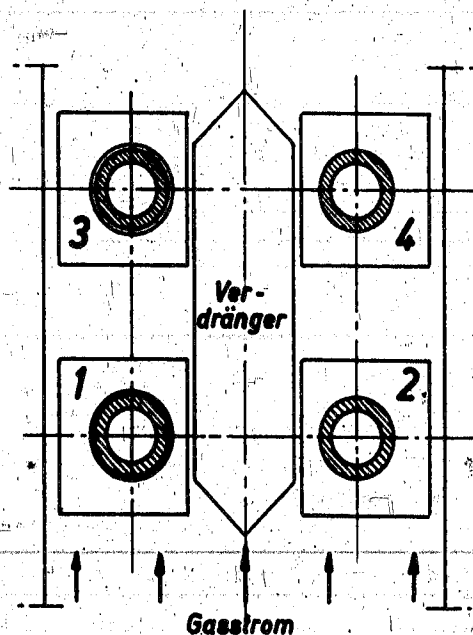
Für die Versuche standen je zwei Versuchsröhre mit aufgestanzten und mit aufgeschweißten Rippenblechen zur Verfügung. Die Röhre, die im Blatt 2 dargestellt sind, haben einen Innendurchmesser von 90 mm und einen Außendurchmesser von 128 mm. Die Rippenbleche haben die Abmessung 250 : 230 bei 4 mm Blechstärke. Die ganze Rohrlänge beträgt bei allen vier Röhren 750 mm, die aussen verrippte Länge ~ 460 mm, die Rippenabteilung ~ 15 mm. Inner sind alle vier Röhre auf 470 mm Länge mit 11,9 mm Ø Stahlkugeln gefüllt. Die S₁ und S₂ werden von Porzellankörpern wie diese gezeigt gegen die an dem Rohrende eingeschraubten 4" Leitungsanschlüsse gehalten. Die Porzellankörperne geben zu gleicher einer Wärmedämmung gegenüber den noch heißen Rohrenen, sodass die wirkliche Erwärmung der Luft nur in der gefüllten Rohrstrecke stattfinnt. Die weiter aussen liegenden Rohrleitunge sind nicht mehr sehr heiß, und auch die Wärmedämmungsschalen im leeren Rohr sind so klein gegenüber der Füllung, dass ein Fehler durch die Endeneinflüsse nicht zu befürchten ist. - Das Material der Röhre ist B. e. V., die Rippen sind gewöhnliches Schweißblech. - Die genauen Abmessungen der vier Röhre sind in folgender Tabelle 1 wiedergegeben:

Tabelle 1 Angaben über die Versuchsröhre

	Rohr Nr.	1	2	3	4
Innendurchmesser	mm	90	89,5	90	89,6
Aussendurchmesser	mm	128	128	128	126
Anzahl der Rippen		31	31	30	30
berippte Rohrlänge	mm	445	465	459	458
Rippenteilung	mm	14,7	15,4	15,6	15,6
Innere freier Rohrquerschnitt f_i	m^2	0,00636	0,00629	0,00636	0,006305
Innere Rohroberfläche zwischen den Sieben F_i	m^2	0,1329	0,1321	0,1329	0,1322
Außere Rohroberfläche vom Rauchgas umspült F_a	m^2	2,711	2,985	2,633	2,891
Außenfreier Strömungsquerschnitt der Rouschgase f_a	m^2	0,04805	0,05555	0,04830	0,05860

Den Einbau der vier Rohre in der Versuchsgasse zeigt folgende

Skizze:



Die Rohre Nr. 1 und 3 haben aufgestemmte Rippen, die Rohre Nr. 2 und 4 aufgeschweißte Rippen. Der Abstand der Rohrröhren beträgt wie üblich 400 mm. Zwischen den Rohren wurde ein Verdränger von 180 mm Breite eingesetzt. Der Abstand der Rippen vom Verdränger beträgt 10 mm, von der Gassentwandung 25 mm. Die oberste und unterste Rippe an jedem Rohr trägt je einen Distanzring gegen Deckel bzw. Boden der Gasse. Die genauen Einbaumaße sind in Blatt 3 angegeben.

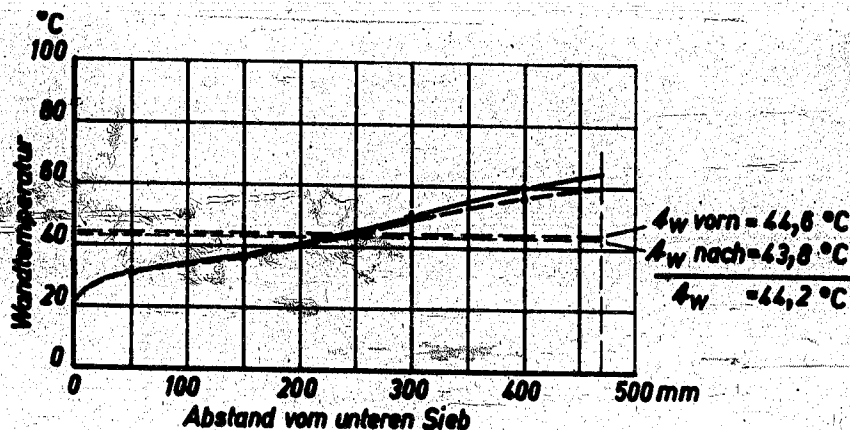
Zur Temperaturbestimmung der Rohrinnenwand waren im Rohr 1 und 2 je 8 Thermoelemente angebracht, von denen jeweils 4 im Windschatten und 4 auf der Windseite der Rauchgasströmung eingebaut wurden. Die Thermoelemente waren 50, 150, 300 und 400 mm vom unteren Sieb entfernt angebracht.

3.) Versuchsdurchführung und Auswertung:

Zur genaueren Bestimmung des Wärmeüberganges vom Rauchgas an die Rippenrohre wurde eine grössere Anzahl von Versuchen, insgesamt 35, durchgeführt. Die das Rohrinnere durchströmende Luftmenge lag dabei zwischen 400 und 700 kg/h, die Luteintrittstemperatur lag zwischen 5 und 20°C. Der innere Wärmeübergang blieb also bei allen Messungen ungefähr gleich ($\lambda = \approx 1100$ bis $2500 \text{ kcal/m}^2\text{h}^\circ\text{C}$). Dagegen wurde rauchgasseitig sowohl die umgewälzte Gasmenge wie auch die Temperatur der Rauchgase in weiten Grenzen verändert, da sich im Laufe der Versuche herausstellte, dass bei diesen Faktoren wesentlichen Anteil am äusseren Wärmeübergang haben. Eine Zusammenstellung der zahlreichen Versuchswerte ist in Tabelle 2 gegeben. Die Erklärung der Bezeichnungen sind folgende:

$G =$	Gewicht der das Rohr innen durchströmenden Luft	$\frac{\text{kil}}{\text{h}}$
t_1	Eintrittstemperatur der Luft	$^\circ\text{C}$
t_2	Austrittstemperatur der Luft	$^\circ\text{C}$
$Q =$	Wärmeaufnahme der Luft	$\frac{\text{kcal}}{\text{h}}$
$q =$	$Q = G \cdot c_p \cdot (t_2 - t_1)$	
c_p	spezifische Wärme der Luft bei der mittleren Temperatur $\frac{t_1 + t_2}{2}$	$\frac{\text{kcal}}{\text{kg}^\circ\text{C}}$
t_w	Oberflächentemperatur an der Rohrinnенwand	$^\circ\text{C}$

Die wir auf der Rohrinwand gemessenen Temperaturen auf der Windseite der Rauchgase verloren über der Rohrlänge, vom unteren Sieb aus gerechnet, aufgetragen; in gleicher Weise die vier Temperaturen im Windschatten. Durch Planimetrioren beider Kurven erhält man die mittleren Oberflächentemperaturen t_{wv} auf der der Rauchgasströmung zugewandten Seite der Rohrinnenwand und t_{wm} der anderen Seite. Das arithmetische Mittel $\frac{t_{wv} + t_{wm}}{2}$ ist dann t_w . Am Beispiel des Versuches Nr. 3 ist der Verlauf der Wandtemperaturen über der Rohrlänge für Rohr 1 in folgender Figur gezeigt:



λ_1 = innere Wärmeübergangszahl von der Rohrwandung an die Luft

$$\text{ kcal} \cdot \text{m}^{-2} \cdot \text{h}^{-1}$$

$$\lambda_1 = \frac{q}{F_1 \cdot (t_w - \frac{t_1 + t_2}{2})}$$

F_1 = innere Rohroberfläche zwischen den Sieben

$$\text{ m}^2$$

q_1 = Heizflächenbelastung, bezogen auf F_1

$$\text{ kcal} \cdot \text{m}^{-2}$$

t_R = Temperatur der Rauchgase vor den Rippenrohren

$$\text{ °C}$$

(für die beiden hinteren Rohre wird das Mittel der beiden vor und nach den Rippenrohren gemessenen Temperaturen eingesetzt).

$K =$	Wärmedurchgangszahl von den Rauchgasen an die im Rohr strömende Luft, bezogen auf F_R	$\frac{\text{kcal}}{\text{m}^2 \cdot \text{h} \cdot {}^\circ\text{C}}$
$K = F_a \cdot \frac{(t_R - t_v)}{2}$		
$F_a =$	Flächenre Rechteckoberfläche (Rohr + Rippen)	m^2
$a_a =$	Koeffiziente Wärmeübertragungszahl von den Rauchgasen an die Rohrrinnenwandung	$\frac{\text{kcal}}{\text{m}^2 \cdot \text{h} \cdot {}^\circ\text{C}}$
$Q_a = F_a \cdot \frac{(t_R - t_v)}{2}$		
$q_a =$	Heizflächendurchströmung, bezogen auf F_R	$\frac{\text{kcal}}{\text{m}^2 \cdot \text{h}}$
$q_a = \frac{1}{F_R}$		
$t_R - t_v =$	Unterschied zwischen Rauchgas- und Wandtemperatur	${}^\circ\text{C}$
$\Delta p =$	Druckverlust der Rauchgase über den Rippenrohren	mm Hg
$\rho_R =$	spezifisches Gewicht der Rauchgase im Zustand vor den Rippenrohren	$\frac{\text{kg}}{\text{m}^3}$
$\rho_R = \frac{M_R}{348 \cdot (273,2 + t_R)}$		
$p_R =$	Druck der Rauchgase vor den Rippenrohren	mm Hg
$\mu_R =$	scheinbares Molekulargewicht der Rauchgase aus der Orsatanalyse in dem abgeschiedenen Wasser werden die Raumteile $v'(i)$ der i-Komponenten des feuchten Rauchgases errechnet. Die Summe der Molekulargewichte M_i der i-Komponenten, multipliziert mit den jeweiligen Raumteilen $v'(i)$, ergibt	
$M_R = \sum v'(i) \cdot M_i$		
$V_R =$	Menge der die Versuchsgasse durchströmenden Rauchgase, bezogen auf F_R und t_R	$\frac{\text{m}^3}{\text{h}}$
$w_{RG} =$	Geschwindigkeit der Rauchgase in der Gasse (d.h. also vor den Rippenrohren)	$\frac{\text{m}}{\text{sec}}$
$w_{RG} = \frac{V_R}{3600 \cdot F_R}$		
$f_G =$	Querschnitt der Gasse (ohne Rohre) = 0,355	m^2

$$\begin{array}{l} \text{R Rippen} \quad \text{Geschwindigkeit des Rauchgases zwischen} \\ \text{den Rippen} \quad \text{m/sec} \\ \text{R Rippen} \quad \frac{V_{Rg}}{3600 \cdot f_a} \end{array}$$

Der Index 1 + 2 bedeutet die Geschwindigkeit bezogen auf die Querschnitte f_a der beiden ersten Rohre zusammen; der Index 3 + 4 entsprechend.

4.) Messungen an innen mit Dampf geheizten Rippenrohren.

Zur Ergänzung der Versuche wurden noch einige Messungen durchgeführt, bei denen aussen kalte Luft vorbeiströmt und innen mit Dampf geheizt wurde. Der Gasseeinbau ist der gleiche wie unter Abschnitt 2). beschrieben worden ist; geändert wurden nur die Verhältnisse im Rohrinneren. Die Kugelfüllung, die Siebe und die Thermolemente wurden entfernt, ebenso die Anschlüsse der Luftsleitung. Statt dessen wurden die Rohre oben über Regulierventile und über einen Wasserabscheider an das Niederdruckdampfnetz angeschlossen. Durch ein T-Stück wurden von oben Fe-Konst.-Thermoelemente bis in die Mitte der Rohre eingeführt. Unter den Rohren wurde ein mit geeichter Skala versehenes Kondensatmessgefäß aufgestellt. Der Dampfdruck in den Rohren wurde auf etwa 50 bis 100 mm S über Atmosphärendruck gehalten. Alle Dampfleitungen wurden mit Asbestwolle isoliert. Zur Berücksichtigung der noch verbleibenden Wärmeverluste wurde vor und nach den Versuchen die Kondensatmenge ohne Gasströmung in der Gasse gemessen und diese dann von den Kondensatmengen der Versuche abgezogen. Diese

Kondensatmengen der Verluste K_v kg/h ergaben bei

Rohr Nr.

1 2 3 4

Rohr Nr.	1	2	3	4
K_v kg/h	0,988	0,835	0,809	0,622

Rauchgasseitig war die Luft umgewälzt. Die Erwärmung durch die Rippenrohre wurde mit kalter (Verbrennungsluft aus dem unheizten Ofen ausgetauscht).

In der Tabelle 3 sind die Messergebnisse eingetragen. Es bedeuten dabei:

C = abgeschiedene Kondensatmenge, abzüglich der Verluste K_v kg/h

Q_1 - vom Dampf abgegebene Wärmemenge, errechnet mit $\frac{\text{kcal}}{\text{h}}$
der bei allen Versuchen gleichbleibenden Verdampfungswärme - 540 kcal/kg

t_D - Dampftemperatur im Rührinnern $^{\circ}\text{C}$

t_w - Temperatur der Rohrinnenwand, errechnet unter der Annahme reiner Filmkondensation. Dabei wurde zur Wärmemenge Q_1 noch die halbe Verlustwärme (herrührend von den Wärmeverlusten oberhalb des Rohres) addiert, da ja deren Kondensat auch als Film an der Rohrinnenwand herabfließt.

A_i - Wärmeübergangszahl auf der Rohrinnenwand, ermittelt nach Wärmealtaus II, Blatt 5. Diese beträgt bei den Versuchen etwa 8000 - 14000 $\frac{\text{kcal}}{\text{m}^2 \text{h}^{\circ}\text{C}}$.

q_1 - Heizflächenbelastung, bezogen auf die innere Rohroberfläche $\frac{\text{kcal}}{\text{m}^2 \text{h}}$ (für alle Rohre $F_1 = 0,1325 \text{ m}^2$)

Die übrigen Bezeichnungen sind die gleichen wie in Tabelle 2, deren Erklärung in Abschnitt 3 angegeben ist. Dabei entfällt nur die Berechnung des Molekulargewichtes der Rauchgasmischung, da für $M = 28,96$ zu setzen ist.

5.) Beurteilung der Versuchsergebnisse:

Als wichtigste Versuchsergebnisse sind die Vergleiche zwischen den Rohren mit geschweißten und gestemmten Rippen zu betrachten. In Blatt 4 ist in dreidimensionaler Darstellung die Ruhige Wärmeübergangszahl q_1 in Abhängigkeit von der Rauchgasgeschwindigkeit zwischen den Rippen W_R Rippen und in Abhängigkeit von dem Temperaturgefälle zwischen Rauchgas und Rohrinnenwand $t_R - t_w$ aufgetragen. Es entstehen dabei zwei Flächen, von denen die obere die Werte des geschweißten Rohres Nr. 2, die untere die Werte des gestemmten Rohres Nr. 1 darstellen.

Die Flächen des Blattes 4 sind durch Interpolieren der zahlreichen Versuche gesonnen worden. Die Abweichung der somit gesonnenen Werte von den Ebenen in Blatt 4 ist in der überwiegenden Zahl der Messpunkte 5%, bei einigen Punkten 5-10%, bei zwei Punkten 20%. Eine Unstimmigkeit

wäre noch darin zu sehen, dass die Messpunkte bei negativem t_{R-W} für Luft gelten; während das Diagramm sonst für Rauchgase gilt. Daher wäre noch eine Umrechnung erforderlich, die jedoch nur eine etwa 2%ige Änderung voraussetzt. Da dies innerhalb der Versuchsgenauigkeit liegt, wurde auf die Korrektur verzichtet. In gleicher Größenordnung liegt auch die Änderung der Geschwindigkeit, die ebenfalls unberücksichtigt blieb.

Aus Blatt 4 ist zunächst zu erschließen, dass bei Wärmeabgabe der Rippenrohre, d.h. bei negativem t_{R-W} , beide Flächen eng beieinander liegen. Gestemmte und geschweißte Rippenrohre haben hier annähernd gleiche Wärmeübertragungsanzahl.⁺⁾ Der Einfluss der Rauchgasgeschwindigkeit ist beträchtlich, sodass bei geheizten Rippenröhren durch Steigerung der Geschwindigkeit immer eine wesentliche Verbesserung des Wärmeübergangs zu erwarten ist.

Die Verhältnisse werden jedoch wesentlich anders bei Wärmeabnahme der Rippenrohre, da die Flächen mit steigenden positiven t_{R-W} immer weiter voneinanderstreben. So betragen z.B. bei $t_{R-W} = +50^\circ\text{C}$ die Wärmeübertragungszahlen des gestemmten Rohres nur noch 50-65, verglichen mit den geschweißten Rohren. Diese Verschlechterung im Wärmeübergang des gestemmten Rohres ist auf den Einfluss der Luftspalte zwischen Rippe und Röhre sowie zwischen Röhre und Rohr zurückzuführen. Dadurch entsteht ein zusätzlicher Wärmedurchgang, wodurch der starke Einschlag der Wärmetransferringe im Rippenrohr schon bei geringsten Luftgeschwindigkeiten sehr wirksam ist. Je höher nun die Rauchgastemperatur gegenüber der Lufttemperatur im Rohr ist, je weiter sich also die Rippe gegenüber der Röhre ausdehnt, desto britischer werden die Spalte und desto schlechterer wird der Wärmedurchgang. Bei negativer t_{R-W} ist der Aufschwung umgekehrt, die gekühlte Röhre wird eng, bis sie sich ausdehnende Wärmerohr gepresst. In der Darstellung von Blatt 4 ist dieses Verhalten sehr eindrücklich in den Abgängen der unteren Fläche nach rechts hin zu erkennen. Dass auch die Fläche des geschweißten Rohres Nr. 2 etwas nach rechts eindringt, läßt vor allen auf die Verhinderung des Wärmedurchgangs im Rippenrohr mit steigender

+¹⁾) Das gleiche Ergebnis war bei früheren Versuchen (Bericht Nr. 427 des Techn. Prüfstandes Oppau) gefunden worden, bei denen innen mit Dampf geheizt wurde, während außen zwar vortrocknete.

Temperatur zurückzuführen sein, während die Temperaturabhängigkeit des legierten Stahles vom Hochdruckrohr weit geringer ist. Anders ausgedrückt bedeutet dies ein Anwachsen des Wärmeüberstandes im Rippenblech, dessen Anteil am Gesamtwiderstand $1/\lambda_1$ damit maßgebender wird. Die anderen Anteile, der Wärmedurchgangswiderstand im Hochdruckrohr, sowie derjenige im Rauchgasübergang vom Rauchgas an die Rippenoberfläche werden demgegenüber prozentual kleiner. Der geringere Anteil des Wärmeübergangswiderstandes im Gesamtwiderstand ist in Blatt 4 sehr schön an der alltäglichen Verflachung der $\chi - \frac{t_R - t_w}{t_w}$ -Kurven zu erkennen mit zunehmendem $t_R - t_w$. Im bestimmten Rohr tritt hierzu noch der sehr bedeutende Wärmedurchgangswiderstand der Spalte, der am Gesamtwiderstand im Rippenrohr einen derart maßgebenden Anteil bekommt, dass demgegenüber der äußere Wärmeübergangswiderstand verhältnismäßig klein ist. Ein Einfluss der Rauchgasströmung ist deshalb kaum noch zu erkennen und die $\chi - \frac{t_R - t_w}{t_w}$ -Kurve verläuft fast horizontal. Dieses Ergebnis zeigt auch ganz allgemein, dass jede strömungstechnische Verbesserung an Rippenrohren nur dann wirksam werden kann, wenn auch innerhalb des Rippenrohres eine gute Wärmeträgerumverteilung vorhanden ist.

Im praktischen Betrieb der Spitzenvorheizer ist im allgemeinen eine Rauchgasgeschwindigkeit v_R Rippen = 20 m/sec. Für ein Temperaturgefälle von $t_R - t_w = 100^\circ\text{C}$ ist für das geschweißte Rohr 2 hiifür aus Blatt 1 $\chi_a = 10 \frac{\text{kcal}}{\text{m}^2 \text{h}^\circ\text{C}}$ abzulesen. Für das gestemmte Rohr 1 ist $\chi_a = 7,6 \frac{\text{kcal}}{\text{m}^2 \text{h}^\circ\text{C}}$ d.h. also, dass das gestemmte Rohr um 24% schlechter ist als das geschweißte Rohr.

Für die beiden hinteren Rohre 3 und 4 konnten keine χ_a -Werte errechnet werden, da die Wandtemperaturen nicht gemessen worden waren. Doch besteht eine Vergleichsmöglichkeit in den Wärmedurchgangszahlen K der Rohre, die ja infolge der guten inneren Wärmeübergangszahlen λ_1 von etwa 1000 bis 3000 annähernd gleich den Wärmeübergangszahlen λ_1 sind. In Blatt 5 sind die K-Werte der geschweißten Rohre 2 und 4 abhängig von v_R Rippen dargestellt, und zwar im oberen Bild bei hoher Rauchgastemperatur, im unteren Bild bei niedriger Rauchgastemperatur. Die gleiche Darstellung ist in

Blatt 6 für die gesuchten Rohre 1 und 3 gegeben. In allen vier Bildern ist festzustellen, dass die hinteren Rohre etwas höhere K-Werte liefern als die vorderen Rohre. Das Ergebnis war vorauszusehen, da ja die vorgesetzten Rohre die Turbulenz der Rauchgasströmung erhöhen.

Schliesslich ist noch der Strömungswiderstand Δp der beiden Rippenrohrpaare in Blatt 7 in Abhängigkeit von der Rauchgasgeschwindigkeit in der Versuchsgasse R_g dargestellt. Das obere Bild zeigt den Einfluss der Gasdichte, indem zwei Kurven mit den mittleren spezifischen Gewichten der Rauchgase $\bar{\gamma}_R = 1,0$ (entsprechend etwa $t_R = 70^\circ\text{C}$) und $\bar{\gamma}_R = 0,5 \text{ kg/m}^3$ entsprechend etwa $t_R = 400^\circ\text{C}$) eingezeichnet sind. Die Messungen lassen sich allgemein auf alle spezifischen Gewichte und damit auf alle Rauchgastemperaturen anwenden, wenn man den Quotienten $\Delta p / R_g$ in Abhängigkeit von R_g darstellt. Im unteren Bild von Blatt 7 ergibt diese Funktion nur eine Kurve für alle spezifischen Gewichte, aus der dann natürlich auch umgekehrt für jedes beliebige $\bar{\gamma}_R$ der Druckverlust zu errechnen ist.

6.) Messung der Oberflächentemperaturen auf den Rippen.

An der Versuchsgasse wurde beiderseits ein schmaler Schlitz angebracht, sodass ein Thermoelement einführt werden konnte. Dieses war so stabil gebaut, dass es von aussen fest an die Rippenoberfläche gepresst werden konnte. Der Schlitz wurde 3 mm wieder durch ein Blech abgedichtet. Das Fe-Konst.-Thermoelement war auf ein rundes Kupferplättchen von 6 mm Ø gelötet, kurz über der Lötstelle um 90° abgebogen und dann innerhalb eines Stahlrohrs isoliert nach aussen geführt. Das Stahlrohr war mit einem Massstab versehen, aus dem die Messtiefe zu ersehen war. Die seitliche Verschübung war durch Markierungen am Schlitz festgelegt. Die genaue Lage des Messplättchens ergab sich nach Anlage an einen rechten Winkel.

Die Temperaturmessungen sind in Blatt 8 bildlich dargestellt. Die Messstellen auf der Rippe sind durch Punkte markiert, auf denen die Temperatur als senkrechte Linie aufgetragen ist. Zur Verkleinerung des Maßstabes wurden die Temperaturen von 200°C ab aufgetragen. Die Messungen

Tabelle 2.

Messungen bei inverser Kühlung der Röhrenrohre mit Luft.

Versuch	t ₀	t ₁	t ₂	q	t _w	a ₁	a ₂	x	a ₃	a ₄	$\frac{t_1 - t_0}{x}$	g
Br.	vom	°C	°C	kcal	°C	kcal	kcal	kcal	kcal	kcal	°C	kg
I. o. K. E. d. I.												
1	8.3.41	450,0	35,0	53,0	4100	56,3	1384	30670	5,53	6,067	1520	249,7
2		443,0	38,0	50,0	4160	57,3	1623	31310	5,63	6,06	1534	253,2
3	11.3.41	626,7	37,5	46,5	4365	44,2	2700	32030	5,62	5,88	1610	274,3
4		620,7	36,0	45,0	4450	42,4	2814	33490	5,83	6,08	1642	269,6
5		469,2	33,0	63,0	5410	58,3	2110	40700	5,31	5,61	1996	356,2
6		637,5	44,5	50,5	3675	46,2	3112	42720	5,44	5,65	2093	370,8
7		661,0	44,5	49,5	5350	46,3	2882	41790	5,32	5,53	2047	370,3
8		645,0	44,8	50,0	5450	47,5	2712	41010	5,12	5,33	2010	377,5
9		668,0	44,8	48,0	5315	43,6	5202	40000	5,07	5,23	1961	374,5
10	12.3.41	420,0	32,0	50,5	1862	31,0	1440	14010	6,82	7,55	607	91,0
11		424,3	32,5	51,0	1882	31,7	1425	14160	6,99	7,75	695	89,3
12		436,0	36,5	36,5	2090	35,2	1817	14790	8,18	9,05	702	85,3
13		667,0	16,0	30,0	2236	29,7	2520	16810	8,43	9,03	825	91,3
14		663,0	16,0	30,0	2230	29,4	2530	16790	8,37	8,22	8225	92,1
15		660,0	16,0	28,0	1900	29,3	1973	14300	7,20	7,77	702	90,3
16		676,0	16,0	28,5	2030	28,9	2293	15870	7,66	8,22	749	91,1
17	20.3.41	545,0	9,0	45,0	4725	44,7	2006	35500	4,58	4,58	1743	379,3
18		525,0	9,5	48,5	4570	44,0	2293	34400	4,43	4,62	1687	363,0
19		534,5	11,0	49,0	4875	46,1	2280	36700	4,73	4,95	1800	363,9
20		542,5	11,0	50,0	5070	46,9	2334	38170	4,82	5,03	1872	372,7
21		544,0	10,5	47,5	4850	45,4	2530	36340	4,72	4,91	1784	363,7
22		563,0	10,0	45,5	7660	42,6	3563	35100	4,55	4,67	1720	368,4
23	23.3.41	464,7	10,5	20,5	1115	18,6	2708	8390	7,91	8,41	411	48,9
24		466,6	8,5	20,2	1510	19,5	1929	9835	8,68	9,56	483	50,3
25		466,6	8,0	16,5	992	15,9	1962	7160	6,47	6,94	351	50,6
26	31.3.41	476,9	5,5	45,5	4390	33,9	2398	34605	4,40	4,57	1696	371,1
27		479,0	6,5	43,2	4447	39,9	2359	33470	4,23	4,38	1640	374,1
28		472,8	8,5	48,0	4500	42,9	2311	33870	4,29	4,46	1660	372,1
29		492,0	7,5	46,0	4365	40,2	2355	34380	4,31	4,46	1683	377,8
30		476,3	7,5	42,0	4649	41,6	2326	34990	4,41	4,57	1714	375,4
31		470,7	7,0	50,0	4879	44,7	2267	36710	4,61	4,81	1800	374,3
32	1.4.41	478,0	7,0	46,2	1065	15,5	2130	6820	6,51	7,86	393	55,7
33		467,0	8,0	49,2	795	13,9	3050	5980	5,02	5,19	293	56,5
34		467,0	7,5	37,6	2150	16,7	2030	8520	7,32	7,89	417	52,8
35		466,0	12,0	24,0	1343	23,1	2220	10120	8,92	9,83	493	50,4

Rippengrohre mit Luft.

X	α_a	q_a	t_{A-t}	S	t_1	t_2	Q	t_w	α_1	q_1	K	α_s
	kcal m ⁻² h°C	kcal m ⁻² h	°C	kg/h	°C	°C	kcal h	°C	kcal m ⁻² h°C	kcal m ⁻² h	kcal m ⁻² h°C	kcal m ⁻² h°C
5,55	6,067	1520	249,7	417,8	15,0	76,0	6130	87,5	1105	46380	7,08	9,40
5,63	6,06	1534	253,2	417,0	18,0	79,8	6220	89,9	1148	47080	7,96	9,43
5,62	5,88	1610	274,3	616,5	17,5	68,0	7475	74,2	1800	56590	9,08	10,70
5,83	6,08	1642	269,6	632,0	16,0	67,0	7737	72,4	1898	58580	9,58	10,81
5,31	5,61	1996	356,2	474,2	15,0	96,0	9280	97,0	1681	69790	8,61	9,74
5,44	5,65	2093	370,8	636,8	14,5	82,0	10650	82,8	2338	80610	9,68	10,68
5,32	5,55	2047	370,5	638,5	14,5	81,8	10650	83,3	2281	80610	9,68	10,70
5,12	5,33	2010	377,5	643,2	14,8	80,0	10100	85,1	2029	76450	8,96	9,96
5,07	5,25	1961	374,5	669,2	14,8	72,5	9265	77,4	2078	70130	8,29	9,11
6,82	7,55	607	92,0	419,0	12,0	36,0	2410	36,7	1437	18250	8,24	9,47
6,99	7,75	695	89,3	425,3	12,5	36,5	2450	36,8	1510	18560	8,52	9,75
8,18	9,05	782	83,3	432,5	16,5	42,5	2700	41,4	1713	20402	9,89	11,36
8,43	9,03	825	91,3	669,0	16,0	34,0	2890	33,1	2710	21900	10,10	11,02
8,37	8,28	8225	92,1	669,0	16,0	34,7	2950	35,0	2290	22320	10,28	11,44
7,20	7,77	702	90,3	663,3	16,0	32,0	2530	31,6	2525	19180	8,88	9,63
7,66	8,22	749	91,1	678,5	16,0	32,0	2590	32,2	2410	19620	9,04	9,89
4,38	4,58	1743	379,3	523,0	9,5	81,0	8975	86,8	1635	67980	7,96	8,92
4,43	4,62	1687	365,0	507,5	9,5	84,0	9080	87,4	1695	68800	8,39	9,47
4,73	4,95	1800	363,9	530,0	11,5	86,0	9475	87,0	1877	71750	8,78	9,85
4,82	5,03	1872	372,7	535,0	11,5	90,0	11100	94,0	1727	76470	9,18	10,39
4,72	4,91	1784	383,7	544,0	11,0	78,0	8750	81,4	1795	66200	9,10	9,02
4,53	4,67	1720	368,4	550,0	10,5	75,5	8580	77,0	1867	64950	7,81	8,64
7,91	8,41	411	48,9	453,3	10,5	23,5	1415	22,0	2071	10710	9,38	10,43
8,60	9,56	483	50,3	454,3	8,5	24,0	1686	23,2	1832	12760	10,51	12,00
6,47	6,94	351	50,6	458,1	8,0	18,0	1100	17,3	1923	9327	6,89	7,49
4,40	4,57	1696	371,1	468,8	5,5	73,2	7676	17,1	1530	57740	6,80	7,66
4,23	4,38	1640	374,1	473,3	6,0	71,5	6413	76,4	1289	48520	5,94	6,38
4,29	4,46	1660	372,1	470,0	8,0	75,5	7625	80,2	1501	57710	6,85	7,64
4,31	4,46	1683	377,8	482,5	7,5	66,0	6780	67,0	1653	51300	5,96	6,48
4,41	4,57	1714	375,4	474,3	7,5	83,0	8612	87,0	1561	65190	7,76	8,74
4,61	4,81	1800	374,3	468,3	7,0	89,0	9103	94,5	1514	69670	8,32	9,51
6,61	7,86	393	35,7	466,0	7,0	12,0	1230	18,4	1581	9320	7,05	7,83
5,02	5,19	293	36,5	466,0	8,0	16,5	950	15,6	2130	7200	5,52	5,86
7,32	7,89	417	32,8	468,0	7,5	20,0	1427	18,9	2175	10810	8,59	9,43
8,82	9,83	493	30,4	459,0	12,0	26,0	1633	26,0	1875	12370	10,11	11,52

832

K ₁	η_1	K	η_{∞}	η	$\eta_{\infty} - \eta$	θ	θ_1	θ_2	θ	θ_1	K	
	kal m ³	kal m ³	kal m ³	kal m ³	°C	kg/m ³	°C	°C	kal kg	kal kg	kal m ³	
<u>K₂</u>											<u>K₃</u>	
03	46380	7,00	9,40	2054	218,5							
08	47080	7,96	9445	2085	220,6							
00	56590	9,08	10,70	2904	244,3							
08	58580	9,58	10,81	2591	239,7							
01	69790	8,61	9,74	3090	327,5							
08	80610	9,68	10,68	3569	334,5							
01	80610	9,68	10,70	3569	333,5							
29	76450	8,96	9,96	3384	339,9							
78	70130	8,29	9,11	3105	340,6							
97	18250	8,24	9,47	808	85,5							
10	18560	8,52	9,75	822	84,2							
13	20402	9,89	11,36	904	79,6							
10	21900	10,10	11,02	968	87,9							
90	22320	10,28	11,44	909	86,5							
25	19180	8,88	9,65	843	87,9							
10	19620	9,04	9,09	868	87,9							
33	67980	7,96	8,92	3010	316,5	10,0	48	4710	35450	4,85		
05	68800	8,39	9,47	3049	321,7	10,0	51	4900	36890	5,20		
77	71750	8,78	9,05	3170	323,0	11,5	54	5020	37790	5,20		
27	76470	9,18	10,39	3388	325,5	11,5	52	5250	39510	5,30		
33	66200	9,10	9,02	2930	323,6	11,0	47,5	4801	150	5,15		
67	64990	7,81	8,64	2875	333,2	10,5	46,0	3903	1400	4,17		
71	10710	9,38	10,43	474	45,5	10,5	21,5	1190	8955	9,17		
32	12760	10,51	12,00	565	46,8	10,5	21,5	1419	10670	10,06		
23	8327	6,89	7,49	369	49,2	154,7	8,0	16,0	873	6572	7,75	
00	57740	6,80	7,66	2556	333,9	170,4	9,6	17,5	4738	35670	5,14	
29	48520	5,74	6,30	2149	336,6	171,2	6,3	17,0	4612	34730	5,04	
32	37710	6,85	7,64	2554	334,8	164,0	8,3	19,0	4620	34830	5,03	
33	51300	5,96	6,48	2272	380,2	179,0	7,6	15,0	4304	32400	4,87	
61	65190	7,76	8,74	2006	330,0	170,2	7,6	15,0	6146	46270	6,42	
14	69670	8,32	9,51	3024	324,5	164,1	7,1	15,0	5342	40220	4,24	
11	9320	7,05	7,83	412	52,6	191,0	7,5	17,0	1028	8375	7,00	
00	7200	5,52	5,86	318	54,4	163,0	8,5	19,2	744	5610	4,99	
3	10810	8,59	9,43	478	50,7	163,0	8,8	19,0	1275	9225	6,68	
3	12370	10,11	11,52	548	47,5	156,0	12,5	25,2	1348	10450	9,89	

η_1	X	q_a	t_X	α	X	V_{RG}	V_{RG}	$\eta_{R \text{ Rippeng.}}$ Rohr 1+2	$\eta_{R \text{ Rippeng.}}$ Rohr 3+4
kcal lbm	kcal lbm	kcal lbm	°C	m ft	kg/m³	m³/h	m/sec.	m/sec.	m/sec.
				R					
				11	0,588	6960	5,45	18,69	18,10
				11	0,580	7015	5,49	18,83	18,23
				12	0,572	8880	6,95	23,84	23,09
				19	0,575	9019	7,06	24,21	23,45
				17	0,498	9217	7,21	24,73	23,97
				17	0,492	9325	7,30	25,03	24,26
				17	0,490	9341	7,31	25,09	24,30
				9	0,484	6894	5,39	18,5	17,92
				4	0,491	6513	5,10	17,473	16,93
				10	0,862	5511	4,16	14,23	13,81
				6	0,861	5521	4,17	14,29	13,84
				23	0,868	9219	6,43	22,06	21,37
				25	0,847	8312	6,51	22,31	21,61
				34	0,855	9660	5,56	23,94	23,11
				10	0,864	5280	4,13	14,17	13,73
				10	0,866	5285	4,14	14,20	13,73
64300	8,33	2939	424,0	7	0,482	6082	4,76	16,34	15,82
66470	8,88	3039	409,0	10	0,496	7211	5,44	19,96	18,75
71620	9,48	3275	410,0	20	0,489	10150	7,96	27,30	26,44
74000	9,62	3384	419,5	21	0,482	10450	8,18	28,04	27,16
60450	8,09	2763	407,0	5	0,499	5119	4,01	13,74	13,31
59400	7,90	2714	411,0	5	0,495	5166	4,04	13,87	13,43
10970	10,39	501	67,0	26	1,005	7835	6,13	21,05	20,37
12160	15,22	555	70,0	40	0,998	9695	7,39	26,02	23,20
6970	7,54	318	66,5	1	1,005	4827	3,78	12,96	12,55
54600	7,38	2497	411,0	1	0,502	2610	2,04	7,00	6,784
52750	7,15	2411	413,0	1	0,511	2499	1,96	6,70	6,492
54450	7,38	2490	413,0	2	0,510	3000	2,35	8,05	7,795
72090	5,84	1924	418,0	1	0,522	1722	1,35	4,619	4,475
63700	7,58	2912	417,0	6	0,502	5830	4,56	15,66	13,27
71000	9,20	5246	41930	19	0,498	9718	7,60	26,09	25,27
8680	7,15	397	71,0	4	0,992	3019	2,36	8,1	7,845
6200	5,23	311	70,0	1	0,994	1445	1,13	3,876	3,755
18050	8,63	459	69,5	15	0,996	5880	4,60	15,79	15,20
12330	10,78	563	73,5	40	0,985	9769	7,64	26,21	25,39

8326

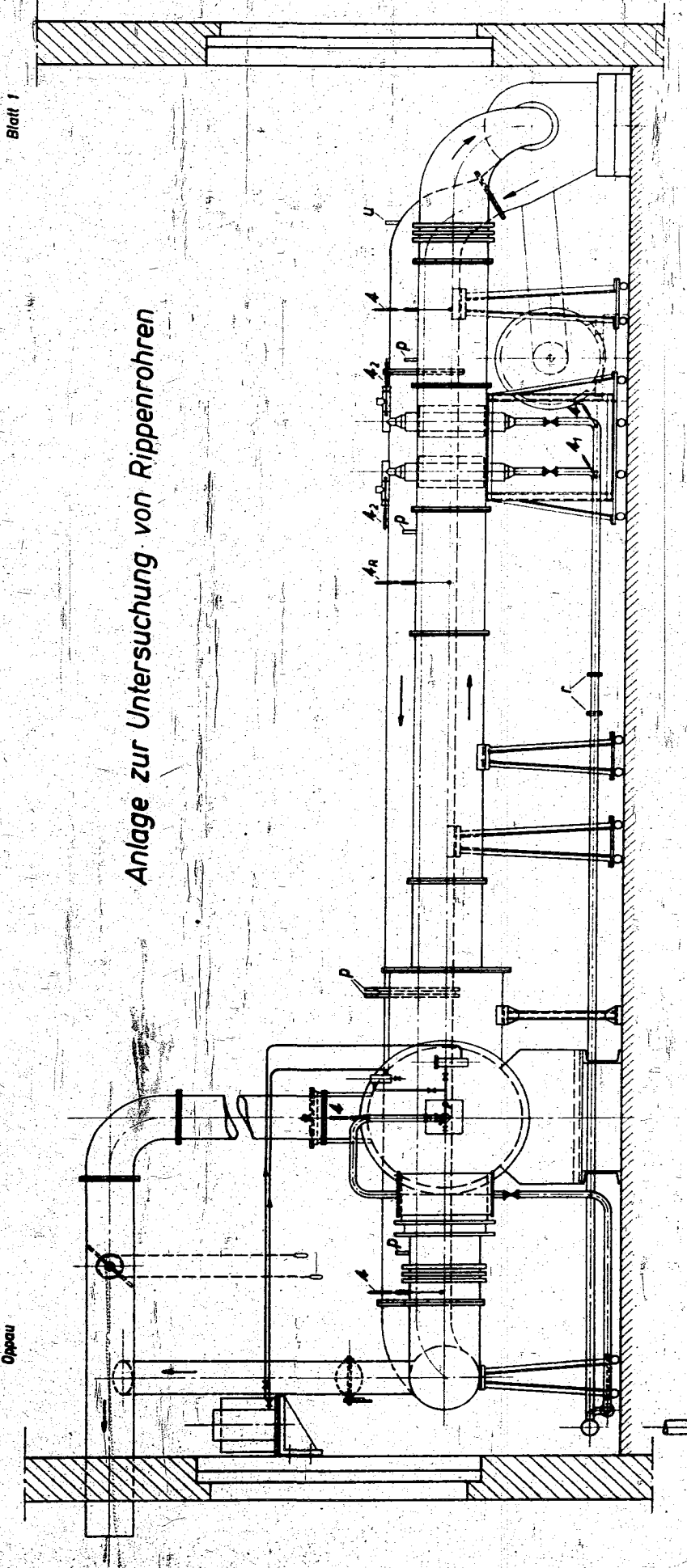
8326 /

Tabelle 3.

Messungen bei innerer Belebung der R.

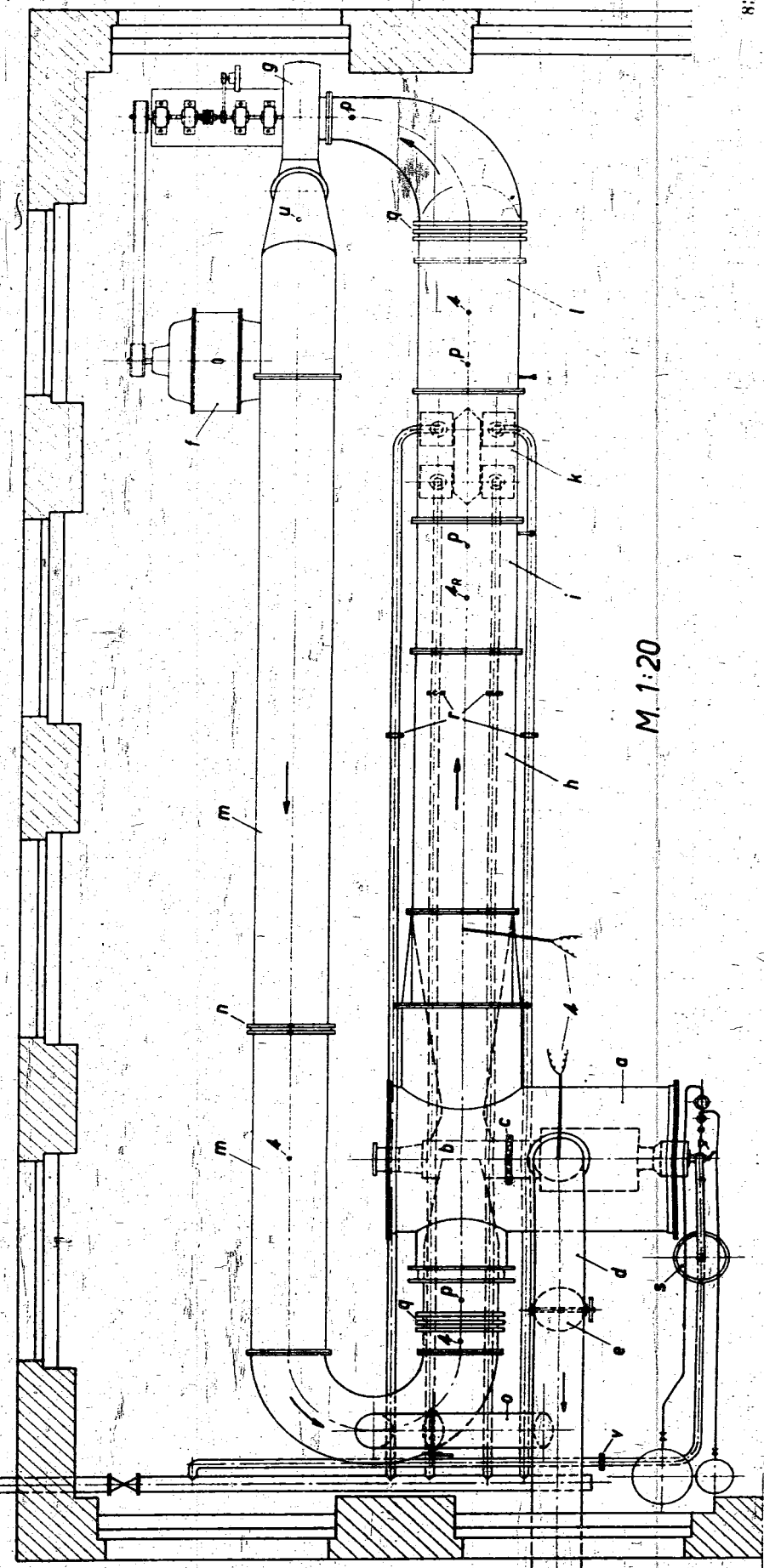
Versuch Nr.	c	q	t _d	t _v	c ₁	c ₂	c' ₂	q ₂	t _{v-t₂}	c	q	t _d	t _v	c
Dim.	kg/h	kgal h	°C	°C	kgal m ³ °C	kgal m ³ h	kgal m ³ °C	kgal m ³ h	kgal m ³ °C	kg/h	kgal h	°C	°C	kg m ³
<u>Ergebnisse Nr. 1</u>														
1	4,38	2367	97,8	95,7	8500	16800	17,23	874	50,7	4,16	2249	98,1	96,0	81
2	4,47	1968	97,8	95,9	8800	16800	14,40	723	50,4	3,76	2052	98,0	97,4	109
3	1,46	789	97,6	97,0	9500	5950	3,94	292	49,0	1,61	869	98,8	98,3	191
4	2,42	1306	97,3	96,5	12300	9850	9,33	462	51,5	2,57	1307	98,3	97,5	132
5	2,40	1296	97,3	96,5	12200	9700	9,25	470	51,3	2,60	1404	98,3	97,5	132
6	3,12	1686	97,3	96,1	10600	12700	12,15	622	51,1	3,54	2907	100,0	98,8	120
7	3,97	2141	98,5	96,3	9100	10220	16,65	791	47,5	4,25	2238	98,5	96,5	93
8	3,94	2126	98,5	96,5	9100	10180	15,85	785	48,5	4,24	2253	98,5	96,5	93
<u>Ergebnisse Nr. 2</u>														
1	4,03	2178	98,2	96,2	8200	16420	17,00	827	48,7	4,83	2609	97,4	95,3	94
2	3,90	2203	98,0	97,3	11100	16650	17,23	839	48,5	4,08	2207	97,3	95,8	111
3	1,37	741	97,8	97,3	11200	5600	6,65	282	42,3	1,86	2004	97,2	96,8	205
4	2,44	1316	98,3	97,5	12400	9910	10,62	500	47,0	2,84	1337	98,3	97,4	129
5	2,44	1313	98,8	98,0	12400	9900	10,40	500	48,0	2,92	1374	98,3	97,5	149
6	3,41	1830	98,8	97,6	11600	13880	14,30	698	48,8	4,06	2194	98,3	97,1	136

t_1	t_w	c_1	q_1	α_a	q_a	t_{v-k}	t_k	f_k	T_{kg}	V_{kg}	Rippen Rohr 1+2	Rippen Rohr 3+4
$^{\circ}C$	$^{\circ}C$	$\frac{kg}{m^2 \cdot K}$	$\frac{kg}{m^2 \cdot K}$	$\frac{kg}{m^2 \cdot K}$	$\frac{kg}{m^2 \cdot K}$	$^{\circ}C$	$^{\circ}C$	kg/m^3	m^3/h	$m/sec.$	$m/sec.$	$m/sec.$
<u>A d A x</u> Nr. 2.												
98,1	96,9	8100	17000	14,79	754	51,0	45,0	1,08	8830	6,92	23,75	-
98,0	97,4	10900	15310	13,12	681	51,9	45,9	1,08	8830	6,92	23,75	-
98,0	98,3	9100	6950	5,78	292	50,3	48,0	1,06	1473	1,15	3,96	-
98,3	97,3	13100	10480	9,22	463	52,5	45,0	1,08	3120	2,44	8,38	-
98,3	97,3	13200	10600	8,95	471	52,5	45,0	1,08	3120	2,44	8,38	-
100,0	98,8	12000	14390	11,90	639	53,8	45,0	1,08	6270	4,91	16,80	-
98,5	96,3	9300	18580	13,75	750	47,5	49,0	1,06	9000	7,05	24,80	-
98,5	96,3	9300	18520	14,50	749	48,5	48,0	1,06	9000	7,05	24,10	-
<u>R o h r</u> Nr. 4.												
97,4	95,3	9490	19700	18,85	905	47,0	45,0	1,08	8830	6,92	-	23,00
97,3	95,8	11100	16680	16,25	763	47,0	45,5	1,08	8830	6,92	-	23,00
97,2	96,8	10900	7950	8,30	348	41,8	48,0	1,06	1473	1,15	-	3,94
98,3	97,4	12900	11600	11,35	532	46,9	45,0	1,08	3120	2,44	-	8,10
98,3	97,3	14900	11900	11,45	543	47,5	45,0	1,08	3120	2,44	-	8,10
98,3	97,1	13800	16550	15,70	760	48,3	45,0	1,08	6270	4,91	-	16,30

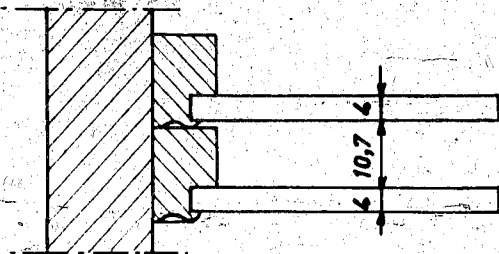


Anlage zur Untersuchung von Rippenrohren

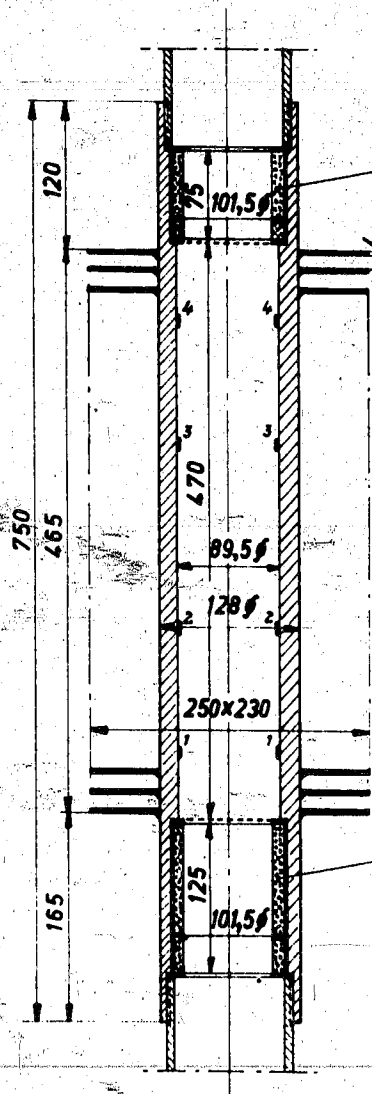
M. 1:20



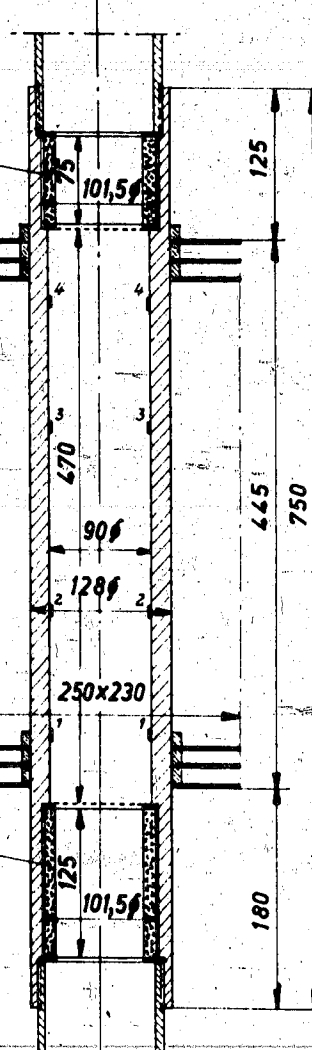
Abmessungen der
Versuchsrohre 1 u. 2



Versuchsrohr 2
[geschweißt]

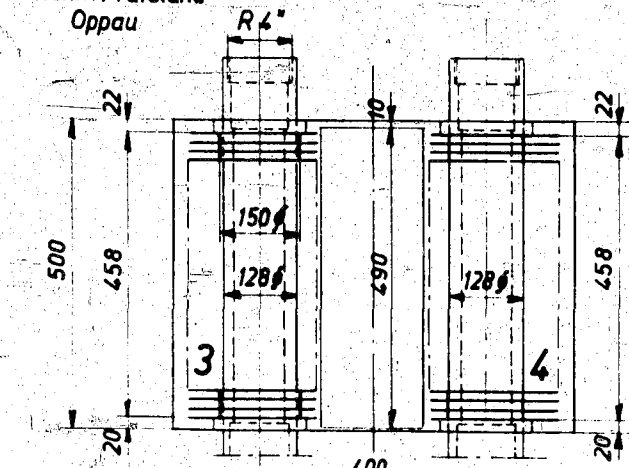


Versuchsrohr 1
[gestemmt]

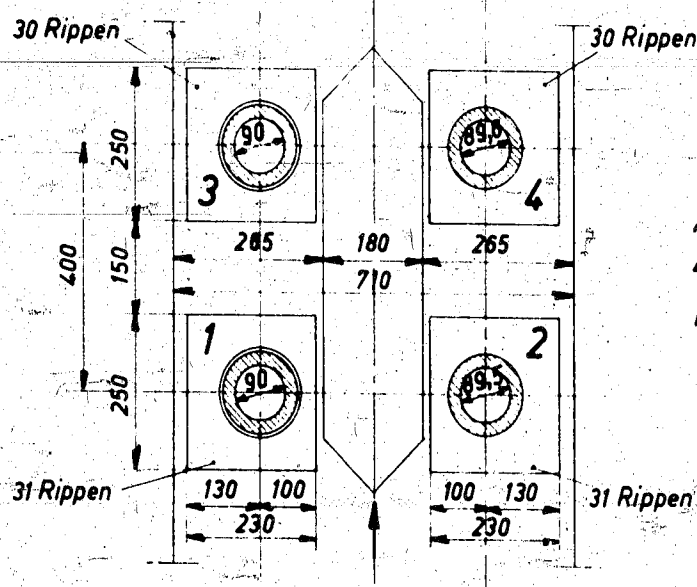


1-6 Thermelemente

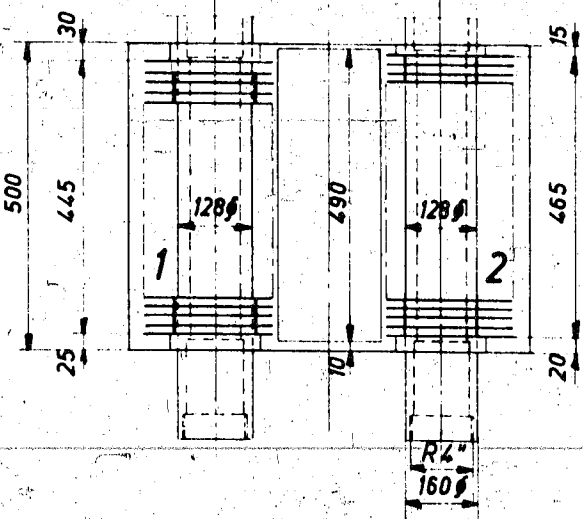
8329



Rohr 1 u. 3 haben
gestemmte Rippen,
Rohr 2 u. 4 haben
geschweißte Rippen.



Anordnung der 4 Rippenrohre in der Gasse

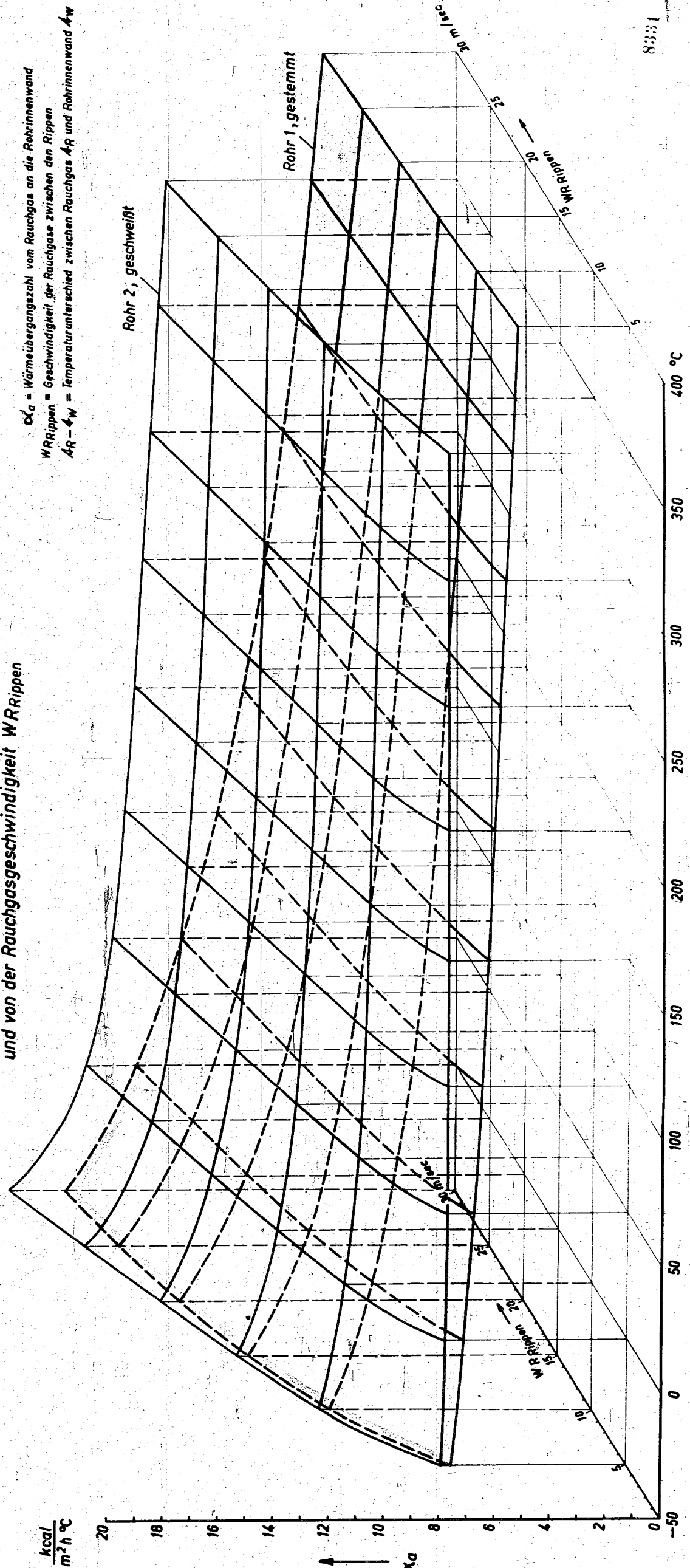


8330

Darstellung der äußeren Wärmeübergangszahlen α_a
in Abhängigkeit vom Temperaturgefälle $\Delta R - \Delta_w$
und von der Rauchgasgeschwindigkeit $W_{R\text{Rippen}}$

$$\frac{\text{kcal}}{\text{m}^2 \cdot \text{h} \cdot ^\circ\text{C}}$$

α_a = Wärmeübergangszahl vom Rauchgas an die Rohrinnenwand
 $W_{R\text{Rippen}}$ = Geschwindigkeit der Rauchgase zwischen den Rippen
 $\Delta R - \Delta_w$ = Temperaturunterschied zwischen Rauchgas ΔR und Rohrinnenwand Δ_w



Wärmedurchgangszahlen K der
geschwungenen Rohre 2 u. 4

$\frac{\text{Kcal}}{\text{m}^2 \cdot \text{h} \cdot ^\circ\text{C}}$

10

8

6

4

10

8

6

2

0

K

$$\Delta t = 61,5^\circ\text{C}$$

a. Rohr 2 Versuch Nr 17 - 22 $G = 531 \text{ kg/h}$

* n 76 71 45 77

+ Rohr 4 n 17 22 52 47

* n 23 21 24 22

Wärrippen

Rohr 2

Rohr 4

Rohr 2

$\frac{\text{Kcal}}{\text{m}^2 \cdot \text{h} \cdot ^\circ\text{C}}$

Wärrippen

Rohr 2

Rohr 4

$$\Delta t = 72^\circ\text{C}$$

a. Rohr 2 Versuch Nr 23 - 25 $G = 531 \text{ kg/h}$

* n 29 25 27 28

+ Rohr 4 n 23 26 24 25

* n 19 18 19 17

Wärrippen

Rohr 2

Wärmedurchgangskoeffizienten
gesterminierten Rohre U = 3

Achse
m/sec.

$$\Delta T = 11^{\circ}\text{C}$$

Rohr 1 Versuch Nr. 32 Geschw. 10 Km/h

$$K = \frac{1}{U} = \frac{1}{3} = 0.3333 \text{ m}^2 \text{ K/W}$$

Rohr 3

$$K = \frac{1}{U} = \frac{1}{3} = 0.3333 \text{ m}^2 \text{ K/W}$$

$$K = \frac{1}{U} = \frac{1}{3} = 0.3333 \text{ m}^2 \text{ K/W}$$

Achse
m/sec.

$$\Delta T = 70^{\circ}\text{C}$$

Rohr 1 Versuch Nr. 33 Geschw. 10 Km/h

$$K = \frac{1}{U} = \frac{1}{3} = 0.3333 \text{ m}^2 \text{ K/W}$$

Rohr 3

$$K = \frac{1}{U} = \frac{1}{3} = 0.3333 \text{ m}^2 \text{ K/W}$$

$$K = \frac{1}{U} = \frac{1}{3} = 0.3333 \text{ m}^2 \text{ K/W}$$

Achse
m/sec.

$$\Delta T = 70^{\circ}\text{C}$$

Rohr 1 Versuch Nr. 34 Geschw. 10 Km/h

$$K = \frac{1}{U} = \frac{1}{3} = 0.3333 \text{ m}^2 \text{ K/W}$$

Rohr 3

$$K = \frac{1}{U} = \frac{1}{3} = 0.3333 \text{ m}^2 \text{ K/W}$$

$$K = \frac{1}{U} = \frac{1}{3} = 0.3333 \text{ m}^2 \text{ K/W}$$

Achse
m/sec.

$$\Delta T = 70^{\circ}\text{C}$$

Rohr 1 Versuch Nr. 35 Geschw. 10 Km/h

$$K = \frac{1}{U} = \frac{1}{3} = 0.3333 \text{ m}^2 \text{ K/W}$$

Rohr 3

$$K = \frac{1}{U} = \frac{1}{3} = 0.3333 \text{ m}^2 \text{ K/W}$$

$$K = \frac{1}{U} = \frac{1}{3} = 0.3333 \text{ m}^2 \text{ K/W}$$

Achse
m/sec.

$$\Delta T = 70^{\circ}\text{C}$$

Rohr 1 Versuch Nr. 36 Geschw. 10 Km/h

$$K = \frac{1}{U} = \frac{1}{3} = 0.3333 \text{ m}^2 \text{ K/W}$$

Rohr 3

$$K = \frac{1}{U} = \frac{1}{3} = 0.3333 \text{ m}^2 \text{ K/W}$$

$$K = \frac{1}{U} = \frac{1}{3} = 0.3333 \text{ m}^2 \text{ K/W}$$

Achse
m/sec.

$$\Delta T = 70^{\circ}\text{C}$$

Rohr 1 Versuch Nr. 37 Geschw. 10 Km/h

$$K = \frac{1}{U} = \frac{1}{3} = 0.3333 \text{ m}^2 \text{ K/W}$$

Rohr 3

$$K = \frac{1}{U} = \frac{1}{3} = 0.3333 \text{ m}^2 \text{ K/W}$$

$$K = \frac{1}{U} = \frac{1}{3} = 0.3333 \text{ m}^2 \text{ K/W}$$

Achse
m/sec.

$$\Delta T = 70^{\circ}\text{C}$$

Rohr 1 Versuch Nr. 38 Geschw. 10 Km/h

$$K = \frac{1}{U} = \frac{1}{3} = 0.3333 \text{ m}^2 \text{ K/W}$$

Rohr 3

$$K = \frac{1}{U} = \frac{1}{3} = 0.3333 \text{ m}^2 \text{ K/W}$$

$$K = \frac{1}{U} = \frac{1}{3} = 0.3333 \text{ m}^2 \text{ K/W}$$

Druckverlust der 4-Rippenrohre

• 70.150.0.5 Versuch N. 5. 1. 17. 20. 17. 31.

• $\rho = 1000 \text{ kg/m}^3$ $W = 5.0 \text{ m}^3/\text{sec}$ $g = 9.81 \text{ m/sec}^2$

mmWS

Δp

30

20

10

mmWS

kg/m³

40

30

Δp

DR

20

10

0

Wag

Wag

R = 0.5 kg/m³

8.7.41

